

7. Transiente, massearme Röntgendoppelsterne

- Terminologie
- Systemparameter
- Stabilität der Scheibenakkretion in LMXBs
- Beobachtungen von soft X-ray transients
 - Eigenschaften der Ausbrüche
 - Vergleich mit Zwernovaausbrüchen
- Theoretische Überlegungen
 - Ausbrüche der SXTs im Lichte des Standard DIM
 - Der Innenrand der Scheibe während des Minimums
 - Soft X-ray transients im Ausbruch
- Ergebnisse numerischer Rechnungen

Vorlesung SS 2007: Akkretionsphänomene in kompakten Doppelsternen

Weiterführende Literatur zu den transienten, massearmen Röntgendoppelsternen

- Campana, S., Colpi, M., Mereghetti, S., Stella, L., Tavani, M.: *The neutron stars of Soft X-ray Transients*, 1998, A&AR 8, 279**
- Chen, W., Shrader, C.R., Livio, M.: *The properties of X-ray and optical light curves of X-ray novae*, 1997, ApJ 491, 312**
- Dubus, G., Hameury, J.-M., Lasota, J.-P.: *The disc instability model for X-ray transients: evidence for truncation and irradiation*, 2001, A&A 373, 251**
- King, A.R., Ritter, H.: *The light curves of soft X-ray transients*, 1998, MNRAS 293, L42**
- King, A.R.: *Outbursts of irradiated accretion discs*, 1998, MNRAS 296, L45**
- Lasota, J.-P.: *The disc instability model of dwarf-novae and low-mass X-ray binary transients*, 2001, New Astron. Rev. 45, 449**
- Menou, K., Narayan, R., Lasota, J.-P.: *A population of faint nontransient low-mass black hole binaries*, 1999, ApJ 513, 811**
- Menou, K., Esin, A.A., Narayan, R., Garcia, M.R., Lasota, J.-P., McClintock, J.E.: *Black hole and neutron star transients in quiescence*, 1999, ApJ 520, 276**
- Meyer–Hofmeister, E., Meyer, F.: *Black hole soft X-ray transients: evolution of the cool disk and mass supply for the ADAF*, 1999, A&A 348, 154**
- Meyer–Hofmeister, E., Meyer, F.: *A limit for the mass transfer rate in soft X-ray transients*, 2000, A&A 355, 1073**
- Meyer, F., Liu, B.F., Meyer–Hofmeister, E.: *Evaporation: The change from accretion via a thin disk to a coronal flow*, 2000, A&A 361, 175**
- Meyer–Hofmeister, E., Meyer, F.: *Black hole X-ray transients: Mass accumulation in the disk – constraints for the viscosity*, 2001, A&A 372, 508**
- van Paradijs, J.: *On the accretion instability in soft X-ray transients*, 1996, ApJ 464, L139**

Transiente, massearme Röntgendoppelsterne

- Hier: Beschränkung auf massearme Röntgendoppelsterne, deren transiente Natur vermutlich auf Scheibeninstabilitäten zurückzuführen ist. (Also keine Be-Stern X-ray transients).

Terminologie

transient = mit Ausbrüchen, jeweils gefolgt von langen Ruhezeiten, etwa wie Novae (aber nicht mit diesen zu verwechseln)

LMXBs < mit einem Schwarzen Loch = BHLMXBs
mit einem Neutronenstern = NSLMXBs

in der Literatur finden sich auch folgende, nicht völlig äquivalente Bezeichnungen:

- X-ray novae, wegen gewisser Ähnlichkeiten mit den Novae
- soft X-ray transients (SXTs), wegen des "weichen" Röntgenspektrums im Ausbruch.

1. Beobachtungen

- Unter den LMXBs gibt es transiente und persistente (= andauernd etwa gleich helle) Systeme. Wenn die transienten Systeme wegen Scheibeninstabilitäten transient sind, dann muss es eine kritische Massentransferrate \dot{M}_{crit} geben, so dass wenn

$$\dot{M}_{\text{tr}} > \dot{M}_{\text{crit}} \rightarrow \text{persistentes System}$$

$$\dot{M}_{\text{tr}} < \dot{M}_{\text{crit}} \rightarrow \text{transientes System}$$

(völlig analog zu den Zergnovae und den UX UMa-Systemen bei den Kataklymischen Variablen).

- Stimmt das mit den Beobachtungen überein?

Müssen hierzu \dot{M}_{crit} bestimmen und dabei auch den Einfluss der Bestrahlung berücksichtigen!

Observed binary parameters of low-mass X-ray transients
 (updated July 2001)

Object	Type	P (d)	spectral type	K ₂ (km/s)	f(M ₁) M _○	i (deg.)	M ₁ (M _○)	M ₂ (M _○)
J1744-2844	NSLMXB	11.8367	K0III-V	208.5 ± 0.7	6.08 ± 0.06	56 ± 4	10-15	0.5-1.0
V404 Cyg	BHLMXB	6.4714						
QX Nor	NSLMXB	4.1 :						
V4641 Sgr	BHMXB	2.81730	B9III	211.0 ± 3.1	2.74 ± 0.12	65 ± 5	8.7-11.7	5.5-8.1
V1033 Sco	BHLMXB	2.6219	F6III	215.5 ± 2.4	2.73 ± 0.09	70.2 ± 1.9	6.3 ± 0.5	2.4 ± 0.4
IL Lup	BHLMXB	1.123	A2V	124 ± 4	0.22 ± 0.02	≤ 40	5.2 ± 2.3	2.45 ± 0.15
V1333 Aql	NSLMXB	0.78950	K7V					
V822 Cen	NSLMXB	0.629063	K5V	146 ± 12	0.20 ± 0.05			
V2107 Oph	BHLMXB	0.523	K5V	441 ± 6	4.65 ± 0.21	~ 70	6.4 - 6.9	0.3 - 0.6
J1750-3116	NSLMXB	0.5150						
GU Mus	BHLMXB	0.4333	K3-4V	399.3 ± 8.0	2.86 ± 0.07	54.0 ± 1.5	6.95 ± 0.60	0.75 ± 0.05
J1859+2239	BHLMXB	0.382	G5	570 ± 27	7.4 ± 1.1			
QZ Vul	BHLMXB	0.344092	K3-6V	519.9 ± 5.1	5.01 ± 0.12	65 ± 9	8.5 ± 1.5	0.26 - 0.59
V616 Mon	BHLMXB	0.323014	K3V	443 ± 4	2.91 ± 0.08	62 - 76	3.3 - 4.2	0.15 - 0.38
MM Vel	BHLMXB	0.285206	K7-M0V	475.4 ± 5.9	3.17 ± 0.12	~ 78	3.64 - 4.74	0.50 - 0.65
LZ Aqr	NSLMXB	0.248236	K7-8V	287 ± 12	0.61 ± 0.03	73 ± 4	1.55 ± 0.31	0.76 ± 0.22
V1727 Cyg	NSLMXB	0.218259	F7V					
V518 Per	BHLMXB	0.212160	M4-5V	378 ± 16	1.19 ± 0.02	≤ 45	≥ 4.2	≥ 0.46
J1118+4802	BHLMXB	0.169930	K7V-M0V	701 ± 10	6.1 ± 0.3	81 ± 2	6.0 - 7.7	0.09 - 0.5
UY Vol	NSLMXB	0.159338						
V4580 Sgr	NSLMXB	0.083902						

a) Bestrahlte Akkretionsscheiben

► Effekt der Bestrahlung: $T_{\text{eff}} \uparrow$, $T_{\text{eff}}^4 = T_{\text{visc}}^4 + T_{\text{irr}}^4$, wobei

$$T_{\text{visc}}^4 = \frac{3GM_1\dot{M}(r)}{8\pi\sigma r^3} \quad \rightarrow T_{\text{visc}} \sim r^{-3/4}$$

$$T_{\text{irr}}^4 = \frac{\eta \dot{M}(R_i) c^2 (1-\beta)}{4\pi\sigma r^2} \left(\frac{H}{r}\right)^n \left(\frac{d\ln H}{d\ln r} - 1\right) \quad \rightarrow T_{\text{irr}} \sim r^{-1/2}$$

$$\eta = \frac{L_{\text{accr}}}{\dot{M}(R_i)c^2} = \text{Effizienz der Energieerzeugung durch Akkretion}$$

$\dot{M}(R_i) = \dot{M}_c$ = Akkretionsrate am Innenrand ($r=R_i$) der Scheibe

β = Albedo (Rückstrahlvermögen) für Röntgenstrahlung

$$n = \begin{cases} 1, & \text{für NS und WZ}, \frac{d\ln H}{d\ln r} = \frac{45}{38} \quad (\text{Punktquelle im Zentrum}) \\ 2, & \text{für BH}, \quad \frac{d\ln H}{d\ln r} = \frac{43}{36} \quad (\text{innere Scheibe als Quelle}) \end{cases}$$

- 1) Es Verschiebung der Abstrahlung zu grösseren Wellenlängen (Röntgen → visuelles Licht). \rightarrow höhere Helligkeit der Scheibe im Visuellen für geg. \dot{M} und M_1/R_1 .
- 2) Veränderung der vertikalen Struktur der Scheibe durch geringeren Temperaturgradienten und höheres T_{eff} \rightarrow verändertes H/r und $f(\Sigma)$.
- 3) Da $T_{\text{visc}} \sim r^{-3/4}$, aber $T_{\text{irr}} \sim r^{-1/2}$ \rightarrow Bestrahlung wird nach aussen immer wichtiger und kann dadurch Teile der Scheibe heiss, d.h. den Wasserstoff ionisiert halten ($T_{\text{eff}} > T_H \approx 6500K$), die ohne Bestrahlung kalt wären.
- Systeme können mit Bestrahlung persistent sein, die ohne Bestrahlung transient wären (van Paradijs 1996)
- Im Ausbruch kann Bestrahlung das Loslaufen der Kühlungsfront verhindern / verzögern. Dadurch entscheidender Einfluss auf den Verlauf der Ausbrüche! (King & Ritter 1998).

b) Kritische Massentransferraten

- bei viskoser Heizung der Scheibe:

$$T_{\text{visc}}(\dot{M}_{\text{crit}}, R_d) = T_H \approx 6500 \text{ K}$$

$$\rightarrow \dot{M}_{\text{crit}} = \frac{8\pi \delta T_H^4 R_d^3}{3GM_1} \quad (1)$$

- bei reiner Bestrahlung:

$$T_{\text{irr}}(\dot{M}_{\text{crit}}, R_d) = T_H \approx 6500 \text{ K}$$

$$\rightarrow \dot{M}_{\text{crit}} = \frac{4\pi \delta T_H^4}{\eta c^2(1-\beta)} \left(\frac{H}{r}\right)^{-n} \left(\frac{d\ln H}{d\ln r} - 1\right)^{-1} R_d^2 \quad (2)$$

► Ersetzen R_d in (1) und (2) mit Hilfe des 3. Kepl. Gesetzes und Roche-Geometrie durch P_{orb} und M_2 :

$$\rightarrow \dot{M}_{\text{crit}} = \frac{16\delta T_H^4}{243\pi} \left(\frac{M_1}{M_2}\right)^{0.35} \left(\frac{R_d}{R_{1,R}}\right)^3 P_{\text{orb}}^2 \quad (1')$$

$$\approx 1.5 \cdot 10^{-10} \frac{M_\odot}{a} \left(\frac{M_1}{M_2}\right)^{0.35} \left(\frac{R_d/R_{1,R}}{0.7}\right)^3 P_{\text{orb}}^2 (h) \quad (1'')$$

$$\rightarrow \dot{M}_{\text{crit}} = \frac{4\pi \delta T_H^4}{\eta c^2(1-\beta)} \left(\frac{2G}{81\pi^2}\right)^{2/3} \left(\frac{H}{r}\right)^{-n} \left(\frac{d\ln H}{d\ln r} - 1\right)^{-1} M_1^{9/10} M_2^{-7/30} \left(\frac{R_d}{R_{1,R}}\right)^2 P_{\text{orb}}^{4/3} \quad (2)$$

Mit $\eta = 0.15$ (NS), bzw. $\eta = 0.1$ (BH), $\beta = 0.9$, $\frac{H}{r} \approx 0.2$ folgt:

$$\dot{M}_{\text{crit}} \approx 5 \cdot 10^{-12} \frac{M_\odot}{a} \left(\frac{R_d/R_{1,R}}{0.7}\right)^2 \left(\frac{M_1}{M_\odot}\right)^{9/10} \left(\frac{M_2}{M_\odot}\right)^{-7/30} P_{\text{orb}}^{4/3} \quad \text{für } n=1 \text{ (NS)}, \quad (2'')$$

$$\approx 4 \cdot 10^{-11} \frac{M_\odot}{a} \left(\frac{R_d/R_{1,R}}{0.7}\right)^2 \left(\frac{M_1}{M_\odot}\right)^{9/10} \left(\frac{M_2}{M_\odot}\right)^{-7/30} P_{\text{orb}}^{4/3} \quad \text{für } n=2 \text{ (BH)}.$$

c) Vergleich mit Beobachtungen (van Paradijs, J.: 1996, ApJ 464, L139)

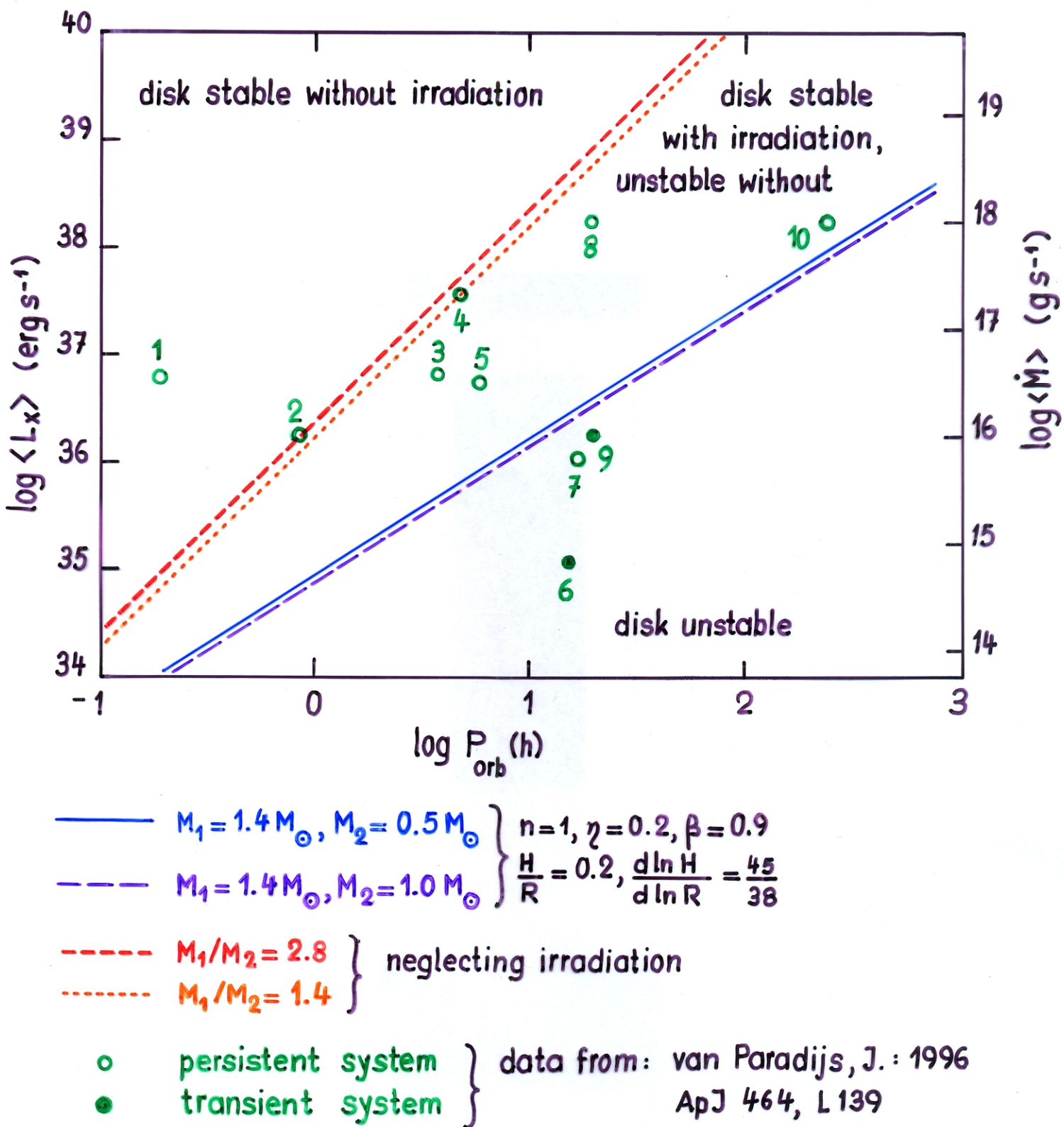
► Ergebnis: → Figuren

BHLMXBs müssten alle transient sein, auch mit Bestrahlung ✓

NSLMXBs: einige Systeme nur dank der Bestrahlung persistent ✓

→ Bestrahlung ist wichtig für die Stabilität der LMXBs!

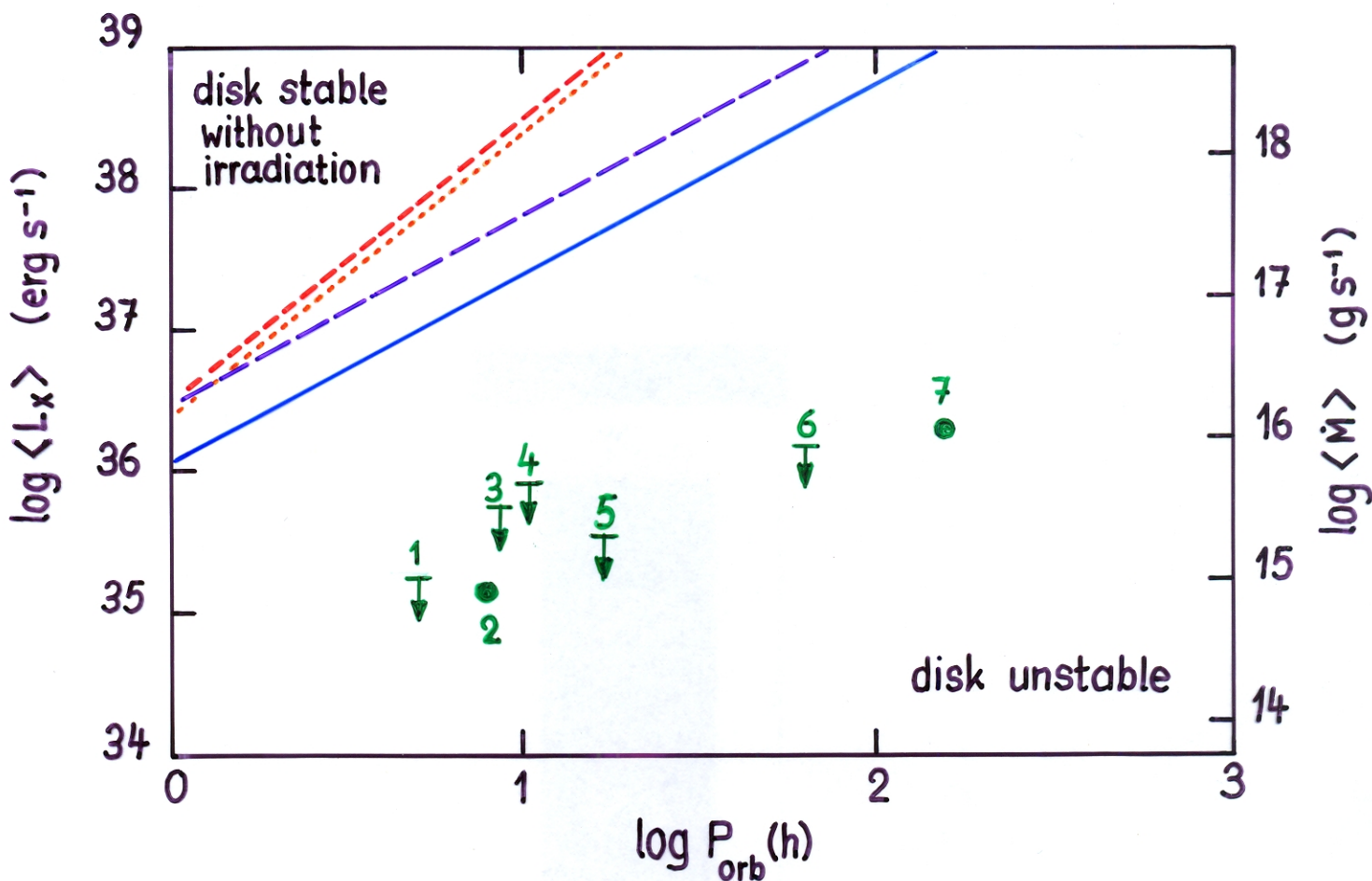
Stability of accretion disks in NS LMXBs: Theory vs. observations



Identifications

1	1820-3023	5	1746-3702	9	V1333 Aql
2	V1405 Aql	6	V822 Cen	10	V1341 Cyg
3	V801 Ara	7	AC 211		
4	V926 Sco	8	V818 Sco		

Stability of accretion disks in BH LMXBs: Theory vs. observations



$M_1 = 3M_\odot, M_2 = 1M_\odot \quad \left. \begin{array}{l} n=2, \eta=0.2, \beta=0.9, \\ H/R=0.2, \frac{d \ln H}{d \ln R} = \frac{43}{36} \end{array} \right\}$

$M_1 = 10M_\odot, M_2 = 2M_\odot \quad \left. \begin{array}{l} H/R=0.2, \frac{d \ln H}{d \ln R} = \frac{43}{36} \end{array} \right\}$

$M_1/M_2 = 5 \quad \left. \begin{array}{l} \text{neglecting irradiation} \\ M_1/M_2 = 3 \end{array} \right\}$

● transient system
↓ transient system,
upper limit } data from: van Paradijs, J.: 1996,
ApJ 464, L139

Identifications

- | | |
|------------|-------------|
| 1 V518 Per | 5 V2107 Oph |
| 2 V616 Mon | 6 V1033 Sco |
| 3 QZ Vul | 7 V404 Cyg |
| 4 GU Mus | |

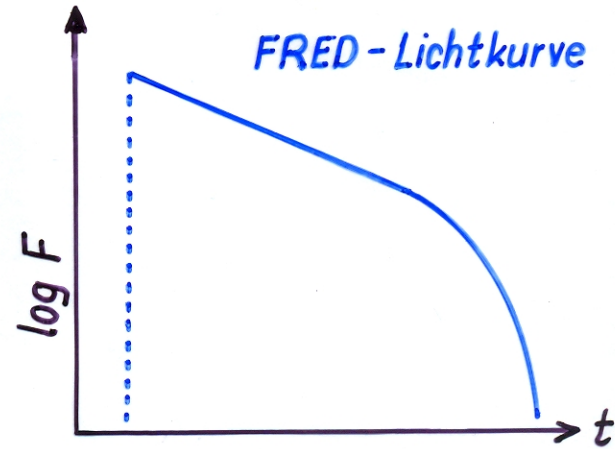
d) Beobachtungen von SXTs

► Der Ausbruchszyklus

- sehr lange Zykluszeiten (Ruhezeiten), bei vielen BH SXTs nur ein Ausbruch beobachtet $\rightarrow t_q \gtrsim$ Jahrzehnte (\rightarrow Tabellen).
- lange Ausbrüche, typisch $t_{\text{out}} \approx 10^2 \text{d}$ (\rightarrow Lichtkurven)
- kleiner duty cycle $d = t_{\text{out}} / (t_q + t_{\text{out}}) \approx 10^{-2}$
- Es gibt gewisse Ähnlichkeiten zwischen dem Verhalten der SXTs und dem der WZ Sge-Sterne (vgl. z.B. die Ausbruchslichtkurven von V518 Per mit der des WZ Sge-Sterns EG Cnc)

► SXTs im Ausbruch

- sind Röntgenbereich, aber auch im Visuellen absolut sehr hell; können kurzfristig auch zu den scheinbar hellsten Röntgenquellen am Himmel werden. \rightarrow leicht zu entdecken und optisch zu identifizieren.
- Erscheinungsbild wird vollständig durch die helle Scheibe dominiert
- sehr unterschiedliche Ausbruchslichtkurven (\rightarrow Beispiele); viele vom Typ FRED (= fast rise, exponential decay) \rightarrow Schema
Beispiele: QZ Vul, IL Lup, GU Mus, V518 Per, V616 Mon, ...
- Anstieg in den Ausbruch erfolgt (mindestens bei einigen Systemen) im Optischen früher, als im Röntgenbereich (analog zum UV-delay bei Zergnovae).
Beispiel: V1033 Sco (\rightarrow Hameury, J.-M., Lasota, J.-P., McClintock, J.E., Narayan, R.: 1997, ApJ 489, 234)
- Maximalhelligkeit $L_{\max} \lesssim L_{\text{Edd}}$



The X-ray delay at the onset of an outburst of the BHsXT V1033 Sco

(Hameury, J.-M., Lasota, J.-P., McClintock, J.E., Narayan, R.: 1997,
ApJ, 489, 234)

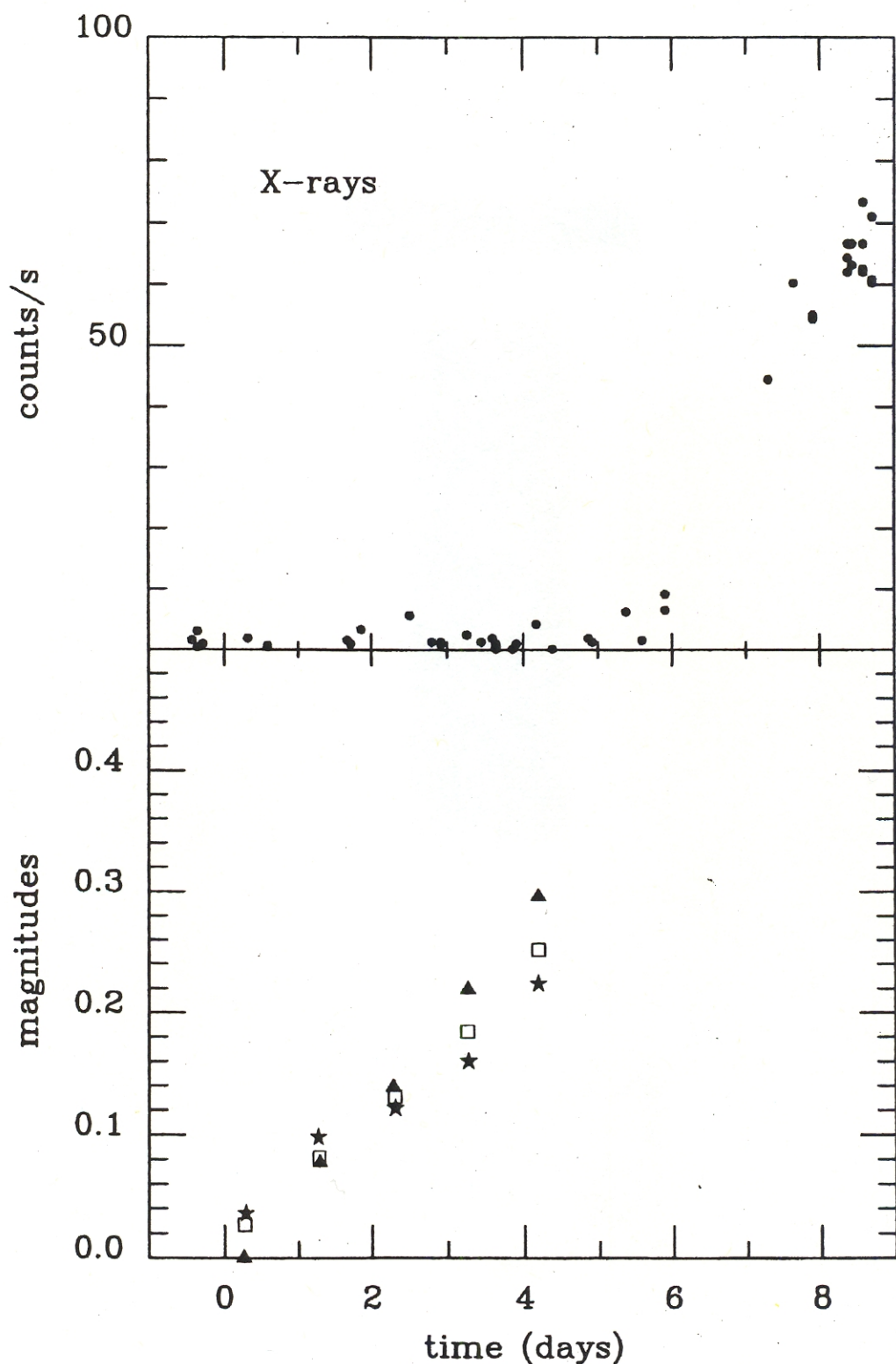


FIG. 1.—Observed optical and 2–12 keV X-ray light curves during the initial phase of the 1996 April outburst of GRO J1655–40 (from ORBM). For the sake of clarity, only one average data point per night is plotted. *B*, *V*, and *I* magnitudes are represented by triangles, squares, and stars respectively. Time has been set to zero at an arbitrary point close to the onset of the outburst.

- Ausbrüche dauern lange, typisch mehrere Wochen-Monate
- einige Systeme erzeugen während der Ausbrüche luminale jets, z.B. V1033 Sco ($v_{jet} \approx 0.9c$), GRS 1915 + 105 ($v_{jet} \approx 0.9c$), 1E 1740.7 - 2942 und GRS 1758 - 258, ähnlich wie Quasare, nur auf wesentlich geringeren Längen- und kürzeren Zeitskalen, daher die Bezeichnung **Mikroquasare** für diese Objekte.

► SXTs im Minimum

- optisches Erscheinungsbild ist praktisch vollständig durch den Sekundärstern dominiert, die Scheibe ist fast unsichtbar.
→ erlaubt Bestimmung der Radialgeschwindigkeit des Sekundärsterns → Bahnperiode, Massenfunktion des kompakten Sterns, ev. weitere Systemparameter (→ Tabelle).
→ "Nachweis" Schwarzer Löcher".
- sind im Optischen sehr schwache Objekte (grosse Entfernung, geringe Leuchtkraft des Sekundärsterns), mit typisch $V_{min} \approx 18-23$. → Identifizierung nur im Ausbruch möglich!
- ∃ messbare Röntgen- und UV-Emission mit Leuchtkräften von $L_{min} \lesssim 10^{33} \text{ erg s}^{-1}$ bei BH SXTs, und $L_{min} \lesssim 10^{34} \text{ erg s}^{-1}$ bei NS SXTs (→ Tabellen)

► Vergleich mit Zergnova-Ausbrüchen (→ Tabelle)

- ∃ gewisse Ähnlichkeiten zwischen den Ausbrüchen einiger SXTs (z.B. von V616 Mon, V518 Per, V616 Mon, MM Vel, ...) und denen von WZ Sge-Sternen (AL Com, EG Cnc, WZ Sge, ...) (→ Kuulkers, E., Howell, S.B., van Paradijs, J.: 1996, ApJ 462, L87):
 - lange Ruhezeiten
 - nur ein wesentlicher (Super-) Ausbruch pro Zyklus,
 - ev. gefolgt von einer kleinen Zahl von "Miniausbrüchen", sog. Echo-Ausbrüchen, unmittelbar nach dem Hauptausbruch.

Die Ausbrüche von transienten Röntgendifpelpulsternen und von Zwergnovae im Vergleich

Eigenschaft	NS SXTs	BH SXTs	norm. Zwergnovae	WZ Sge - Sterne
Dauer der Ausbrüche	Wochen - Monate	Wochen - Monate	Tag - Wochen	einige Wochen
Dauer des Ausbruchszycles	Monate - Jahre	Jahre - Jahrzehnte	Wochen - Monate	Jahre - Jahrzehnte
Ausbruchssamplitude	$\sim 1 \dots \sim 10^7$	$\sim 10^4 \dots 10^6$	$\sim 10^2$	$\sim 10^4$
Maximalhelligkeit	$\sim (10^{-2} \dots 1) L_{\text{Edd}}$	$\sim (10^{-2} \dots 1) L_{\text{Edd}}$	$\sim L_{\odot}$	$\sim (1 \dots 10) L_{\odot}$
Ausbruchsenegie	$10^{43} - 10^{46} \text{ erg}$	$10^{43} - 10^{46} \text{ erg}$	$10^{38} - 10^{39} \text{ erg}$	$10^{40} - 10^{41} \text{ erg}$

X-ray light curves of X-ray novae

(Chen, W., Shrader, C.R., Livio, M.: 1997, ApJ 491, 312)

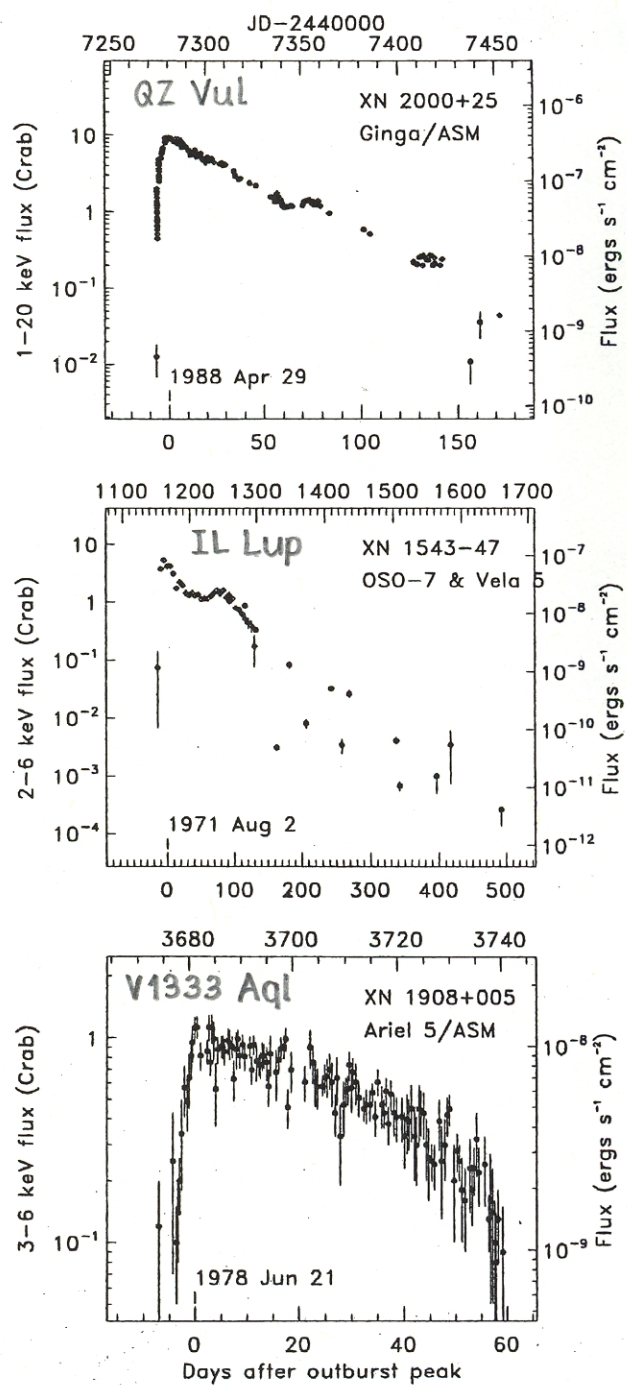


FIG. 1.—Examples of the FRED-type X-ray light curves. *Top*: the 1988 outburst of GS 2000+25 (Tsunemi et al. 1989), a BH XN. *Middle*: the 1974 outburst of 4U 1543-47 (Li, Sprott, & Clark 1976), also a BHC. *Bottom*: the 1978 outburst of 4U 1908+005 (Charles et al. 1980), a NS XN. Note that both the top and middle panels exhibit a “glitch”-type secondary maximum (see § 5.2.3).

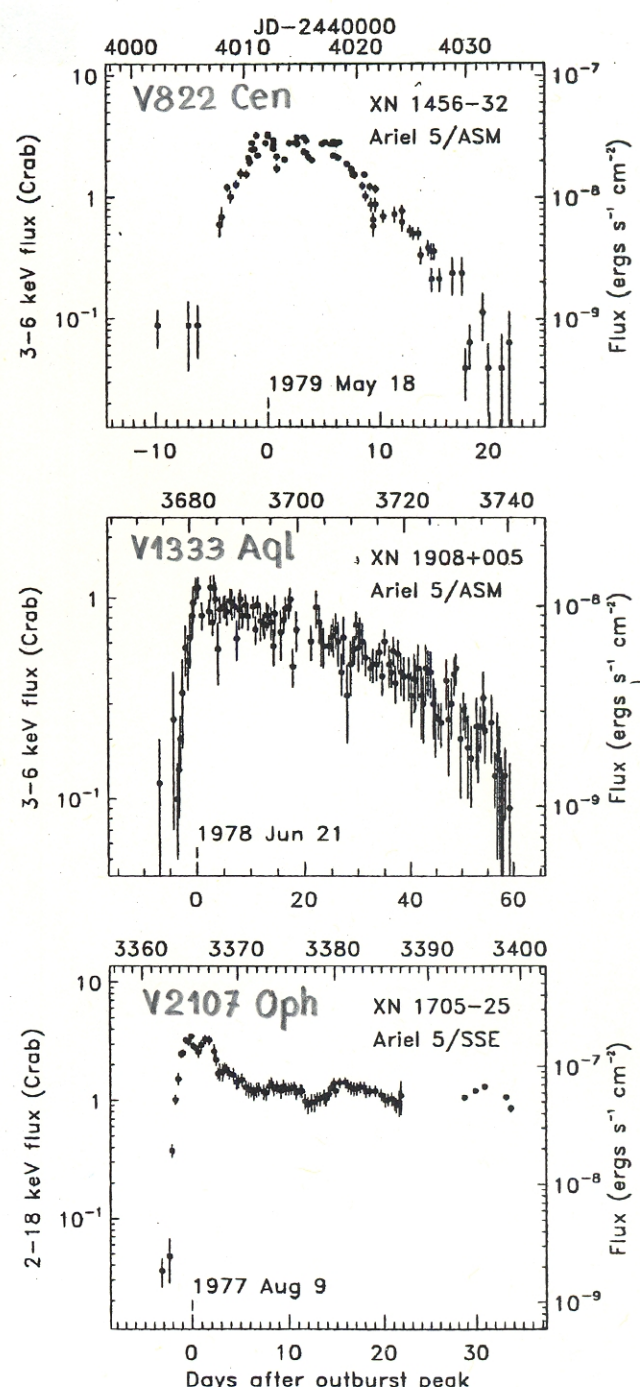


FIG. 4.—Examples of short plateaus that are usually followed by normal decay. *Top*: the 1979 outburst of 4U 1456-32 (Kaluzienski, Holt, & Swank 1980). *Middle*: the 1978 outburst of 4U 1908+005 (Charles et al. 1980). *Bottom*: the 1977 outburst of 1H 1705-25 (Griffiths et al. 1978; Share et al. 1978). The late phase of this outburst is uncertain.

X-ray light curves of X-ray novae

(Chen, W., Shrader, C.R., Livio, M.: 1997, ApJ 491, 312)

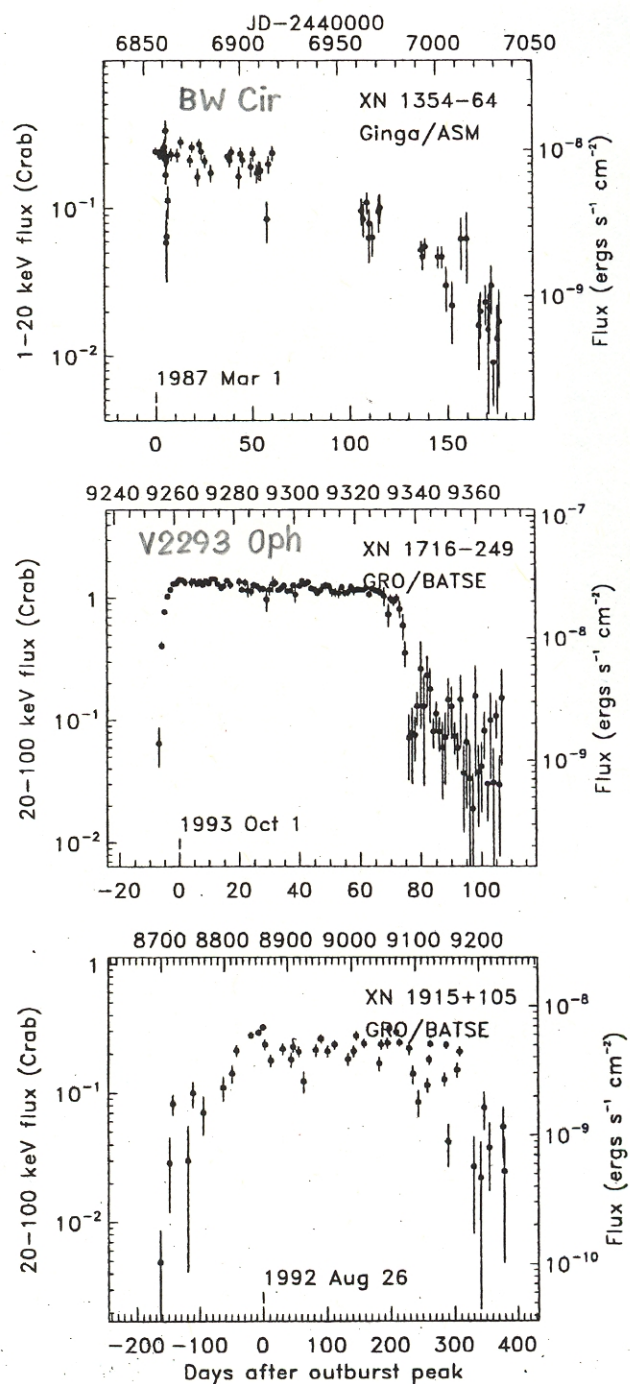


FIG. 5.—Examples of long plateau X-ray light curves. *Top*: the 1987 outburst of GS 1354–64 (Kitamoto et al. 1990), a plateau of 50 days followed by normal decay. *Middle*: the 1993 outburst of GRS 1716–249 (Harmon et al. 1994), which has a fast rise and a sudden cutoff. *Bottom*: the 1992 outburst of GRS 1915+105 (Harmon et al. 1994), the longest plateau to date, which has a very slow rise.

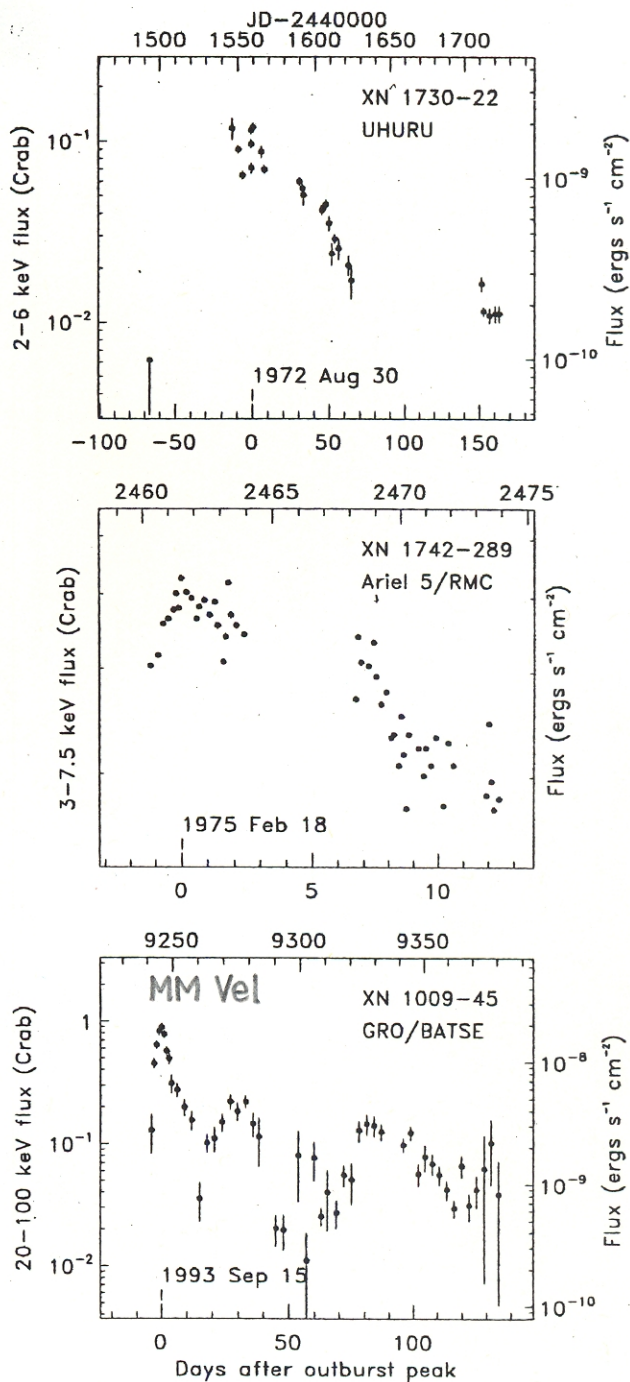


FIG. 6.—Examples of light curves with variable decay constants. *Top*: the 1972 outburst of 4U 1730–22 (Cominsky et al. 1978). *Middle*: the 1975 outburst of A1742–289 (Eyles et al. 1975; Branduardi et al. 1976). *Bottom*: the 1993 outburst of GRS 1009–45 (Harmon et al. 1994) in hard X-rays.